## И. А. БАГОЦКАЯ и академик А. Н. ФРУМКИН СКОРОСТЬ ПАДЕНИЯ КАПЕЛЬ РТУТИ В ВЯЗКОЙ СРЕДЕ

Скорость падения твердого шарика с радиусом a в вязкой жидкости  $u_s$  определяется известной формулой Стокса. Адамар (1) и Рыбчинский (2) показали, что скорость падения жидкой капли u превышает  $u_s$ 

 $u = u_s \frac{3\mu + 3\mu'}{2\mu + 3\mu'}, \tag{1}$ 

где  $\mu$  — вязкость окружающей среды, а  $\mu'$  — вязкость капли. В случае, когда  $\mu\gg\mu'$ ,

 $u = \frac{3}{2} u_{s}. \tag{2}$ 

Отличие между величинами  $u_s$  и u связано с тем, что при падении жидкой капли тангенциальная скорость на границе раздела отлична от нуля. В падающей капле возникает вихревое движение жидкости, благодаря которому частицы жидкости в нижней (передней) части капли все время поступают из середины капли к ее поверхности, а в верхней (задней) части капли происходит обратный процесс.

Ряд авторов проверяли формулу Адамара — Рыбчинского (3). Наблюденные скорости оказываются обычно меньше вычисленных по уравнению (2). А. А. Лебедев (4) при тщательном исследовании не обнаружил заметной разности в скоростях падения в касторовом масле твердых шариков и капель ртути с радиусом до 0,15 см. Однако, согласно Воларовичу и Леонтьевой (5), капли расплавленного свинца падают в  $B_2O_3$  по уравнению (2). Согласно Бонду и Ньютон (6), существует некоторый критический радиус капли  $\overline{a}$ . При  $a \ll \overline{a}$  капли падают по Стоксу, при  $a \gg \overline{a}$  — по уравнению (1). Существование критического радиуса Бонд и Ньютон объясняют действием пограничного натяжения  $\sigma$ , препятствующего тангенциальному движению. Бонд и Ньютон из соображений размерности находят, что по порядку величины

$$\overline{a} \sim \frac{\sigma^{1/a}}{(\rho - \rho')^{1/a} g^{1/a}} . \tag{3}$$

Однако, так как величина поверхности капли во время падения остается постоянной, то до тех пор пока поверхностный слой находится в равновесии с объемными фазами, переход молекул из середины жидкости на поверхность и обратно не может сопровождаться и менением свободной энергии и не может привести к появлению сил на границе раздела. Буссинеск  $\binom{7}{1}$  предложил уравнение

$$u = u_s \frac{3\mu + 3\mu' + ea^{-1}}{2\mu + 3\mu' + ea^{-1}}.$$
 (4)

Здесь e — отношение изменения поверхностного натяжения жидкости к скорости изменения величины поверхности жидкости при ее деформации, которое можно рассматривать как меру некоторой поверхностной вязкости. При малых a уравћение Буссинеска переходит в фор-

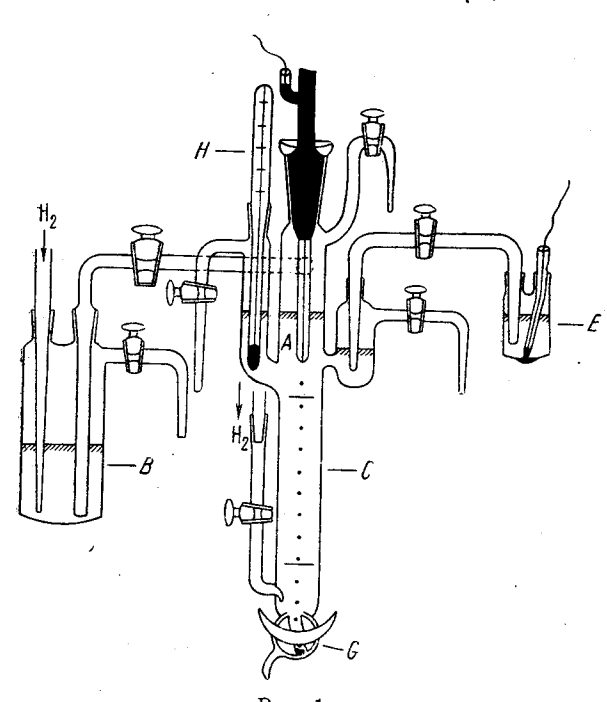
мулу Стокса, при больших—в уравнение Адамара— Рыбчинского. Существование измеримой поверхностной вязкости для чистой поверхности жидкости при скоростях деформации, с которыми мы имеем дело при измерении скорости падения капель, не находит подтверждения.

Фрумкин и Левич (8) показали, что при наличии двойного электрического слоя на границе раздела между жидкостями тангенциальное движение вызывает появление разности потенциалов между передней и задней частями капли, которая приводит к его торможению. Согласно этой теории, скорость падения заряженной металлической капли

$$u = u_s \frac{3 \mu + 3 \mu' + \varepsilon^2 x^{-1}}{2 \mu + 3 \mu' + \varepsilon^2 x^{-1}}.$$
 (5)

тде  $\epsilon$ — заряд единицы поверхности капли, т. е. внутренней обкладки двойного слоя,  $\kappa$ — объемная электропроводность раствора. При  $\frac{\epsilon^2}{\kappa (\mu + \mu')} \ll 1$  уравнение (5) переходит в уравнение (1), при  $\frac{\epsilon^2}{\kappa (\mu + \mu')} \gg 1$ — в формулу Стокса. Вывод уравнения (5) предполагает, что выполнено условие "идеальной поляризуемости" поверхности, т. е. ионы раствора не должны ни образовываться, ни исчезать на поверхности капли. При  $\mu \gg \mu'$  (ртуть в глицерине)

$$u = u_s \frac{3\mu + s^2 \kappa^{-1}}{2\mu + s^2 \kappa^{-1}}.$$
 (5a)



Легко убедиться, что по порядку величины  $a e^2/x$ выражает изменение понатяжения отоничного капли при скорости деповерхности, формации равной единице. В этом смысле член є2/х в уравнении (5) играет ту же роль, как и член  $e/\alpha$  в уравнении (4), хотя физический смысл этих вырасовершенно разжений личен.

В настоящей работе уравнение (5а) было подвергнуто опытной проверке. Применявшийся при этих измерениях прибор схематически изображен на рис. 1. Под давлением ртутного столба ртуть вытекала из капилляра А каплями с радиусом 0,4—0,5 мм в раствор электролита в глицерине,

содержавший небольшое количество воды (1-30/6). Период капания равнялся примерно 0,5 сек., вязкость применявшихся растворов при  $20^{\circ}$  5 — 7 пуаз, скорость падения около 1 см/сек. Перед выполнением измерений подогретый раствор в боковом сосуде B насыщался водородом в течение 20 час., затем передавливался в сосуд для измерений C, также предварительно наполненный водородом. Некоторое число опытов было также проделано с одиночными каплями; в этом случае капли сбрасывались в раствор со стеклышка, смоченного раствором; в этих опытах, так же как и в некоторых опытах.

тах с каплями, вытекавшими из капилляра, растворенный воздух не удалялся из раствора. Растворы готовились из глицерина х. ч. американской фирмы. В качестве электролита были применены Na<sub>2</sub> SO<sub>4</sub> и КВг, дважды перекристаллизованные и прокаленные. Растворы готовились непосредственно в сосуде В. Скорость падения капель в трубке С определялась по времени прохождения их между двумя метками с расстоянием в 5 см, нанесенными на стекле. Для сообщения каплям определенного заряда в цепь, состоящую из вспомогательного ртутного электрода Е, раствора и растущей капли, включался внешний источник э. д. с. Величина  $\varepsilon$  рассчитывалась из уравнения  $\varepsilon = i/s$ , где i — средняя сила тока, а s — величина поверхности капель, образующихся за единицу времени. Последняя рассчитывалась из периода капания и радиуса капель. Для определения радиуса при данных условиях капания находился вес 150 капель, которые собирались в нижней части трубки C и затем выводились из нее поворотом крана G. Радиус несколько менялся для одной серии измерений в зависимости от величины  $\varepsilon$ . Приведенные ниже значения a соответствуют  $\varepsilon = 0$ . Вычисление заряда и  $\pmb{u}_s$  для каждой точки производились со значением a, найденным на опыте для данной точки.

Температура раствора определялась с помощью термометра *Н*. Вязкость и электропроводность раствора находились предварительно для нескольких близких температур, и значения, соответствующие

температуре опыта, находились интерполяцией.

Проверка уравнения (5а) производилась сравнением величины  $\alpha_{\text{набл}} = n/u_s$  с величиной  $\alpha_{\text{выч}} = \frac{3\,\mu + \varepsilon^2 x^{-1}}{2\,\mu + \varepsilon^2 x^{-1}}$ . Значение скорости u, входящее в уравнение (5а), относится, однако, к случаю падения одиночной капли в неограниченной жидкости, между тем как опытное значение u'' искажено близостью стенок и гидродинамическим взаимодействием между падающими каплями в столбе. В случае "твердых" капель, для которых  $\alpha_{\text{выч}} = 1$ , поправка на действие стенок вычислялась по формуле Факсена

$$u = u' \frac{1}{1 - k_1 a R^{-1}} ,$$

где R — радиус трубки C, равный 7,6 мм,  $k_1=2,1$ , u' — наблюденная

скорость одиночной капли.

Для определения поправки, связанной с взаимодействием капель в столбе, были проведены серии измерений при значении заряда, который капли приобретают в соприкосновении с растворенным воздухом и который удовлетворял условию  $\alpha_{\text{выч}}=1$  (опыт производился без введения электролита и х было очень мало). Определялась скорость одиночной капли u' и скорость капель в "столбе" u'' при разных периодах капания и, следовательно, при разных расстояниях между падающими каплями d. Далее было сделано предположение, что зависимость между u'' и u' после приведения этих величин к тому же радиусу выражается простейшим линейным соотношением

$$u'=u''\left(1-k_2\,ad^{-1}\right),\,$$

где  $k_2$  — коэффициент, который определялся графически из опыта. В трех сериях измерений по 15 опытов были найдены значения  $k_2 = 0.97$ ; 1,13; 1,20, в среднем  $k_2 = 1.1$ .

Для случая "жидких" капель, когда  $\alpha \neq 1$ , Бонд (9) полагает  $k_1 = 2,4/\alpha$ . Значение  $k_2$  для этого случая не могло быть определено нами из опыта. Следуя Бонду, мы принимали для общего случая

 $k_2=1,1/\alpha$ . Такая подстановка представляется законной, так как на больших расстояниях от капли скорость движения жидкости относительно неподвижной точки убывает как  $1/\alpha r$ , где r— расстояние от центра капли, и, следовательно, переход от случая  $\alpha=1$  к случаю  $\alpha \neq 1$  соответствует увеличению линейных размеров на больших расстояниях в  $\alpha$  раз\*. Учитывая все поправки, мы получаем соотношение

$$u = u'' \frac{1 - \frac{1}{\alpha} \frac{1}{d}}{1 - \frac{2}{\alpha} \frac{1}{R}},$$
 (6)

из которого и находилось u, подставляя для  $\alpha$  сначала величину  $u''/u_s$ . Из найденного таким образом значения u находилась уточненная величина  $\alpha$ , которая вторично подставлялась в уравнение (6). Влияния обеих поправок на величину u в значительной мере компенсируют друг друга, так что отличие u от u'' не превышало 5%. Ниже приводим основные результаты, полученные после введения поправок. Всего сделано свыше 25 серий измерений по 12-15 точек в каждой.

1. Скорость падения в присутствии растворенного воздуха. В соприкосновении с растворенным кислородом воздуха капли приобретают значительный положительный заряд. Так, в растворе КВг с  $x=3.5\cdot 10^{-4}$ ,  $\mu=8.1$  величина  $\epsilon$ , которая определялась по силе тока, текущего в коротко замкнутой цепи из капающей ртути, раствора и ртутного электрода, находившегося длительное время в соприкосновении с воздухом (10), равнялась  $24.2\cdot 10^{-6}$  кул/см². В этом растворе  $\alpha_{\text{набл}}=1.21$ ,  $\alpha_{\text{выч}}=1.24$ .

В присутствии растворенного кислорода при малой электропроводности раствора одиночные капли падали точно по формуле Стокса;  $\alpha_{\text{набл}} = 1,00-1,03$ , в среднем 1,01. В этих условиях заряд капли устанавливается независимо от его первоначального значения. Так, несмотря на изменение исходной величины заряда в широких пределах пропусканием тока,  $\alpha_{\text{набл}}$  для капель, вытекавших из капилляра в раствор 0,03 N KBr (x = 2,3 · 10<sup>-5</sup>,  $\mu$  = 5,2), оставалось неизменным в пределах 0,99 — 1,02.

2. Скорость падения в растворах, насыщенных водородом. После удаления растворенного кислорода скорость падения оказывается функцией заряда, сообщенного капле до ее отрыва. На рис. 2 даны значения  $\alpha_{{}_{\text{наб}}{}_{\text{л}}}$  и  $\alpha_{{}_{\text{выч}}}$  для капель, вытекавших из капилляра в два раствора с сильно отличающимися значениями х. Как видно, в согласии с теорией, величина с в зависимости от заряда капли изменяется в пределах 1,03 — 1,47; при увеличении [ε| скорость приближается к  $u_s$ , при малых зарядах — к  $^3/_2$   $u_s$ . Спадание величины  $\alpha$ при увеличении | є | происходит медленнее при более высоких значениях х. Между вычисленной и наблюденной зависимостью α от ε существует, однако, некоторое расхождение. А именно, вся кривая а набл по отношению к кривой авич несколько сдвинута в сторону отрицательных с. Первоначально предполагалось, что более низкие по сравнению с теорией значения а, которые наблюдаются при положительных є, связаны с каким-то адсорбционным процессом. Однако опыты, проведенные с растворами Na<sub>2</sub> SO<sub>4</sub> и KBr, показали, что расположение кривых не зависит от природы аниона. Добавление к глицерину поверхностно-активных веществ, как амиловый и октиловый спирты, также не вызывало заметного изменения формы кривой. При разбав-

<sup>\*</sup> Соображение это было высказано В. Г. Левичем.

вого заряда остается приблизительно постоянным. Эти данные заставляют думать, что наблюдаемое отклонение имеет другую причину, а именно, что оно связано с изменением заряда во время падения капли, вызванным действием остатков растворенного кислорода воздуха, которые не удается удалить из раствора. Пользуясь формулой, выведенной В. Г. Левичем для скорости процесса диффузии растворенного вещества к падающей "жидкой" капле, можно показать, что при содержании кислорода порядка  $2-3\cdot10^{-6}$  молярного, которое нужно считать весьма удовлетворительным результатом очистки раствора

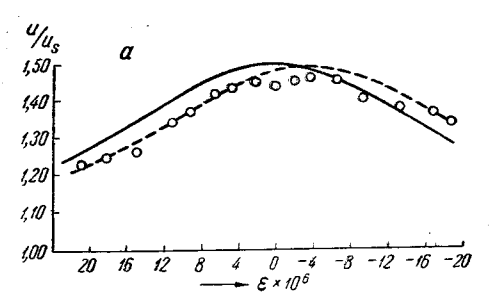


Рис. 2а.  $\sim 1~N$  КВг в глицерине,  $\varkappa = 5 \cdot 10^{-4}$ ,  $\mu = 4.8$ ,  $\alpha = 0.434$  мм. Сплошная кривая —  $\alpha_{\rm выд}$  по уравнению (5а); пунктирная —  $\alpha_{\rm выд}$  по уравнению (7), принимая  $\varepsilon_l - \varepsilon_0 = 8 \cdot 10^{-6}$ ;  $000 - \alpha_{\rm up6.7}$ 

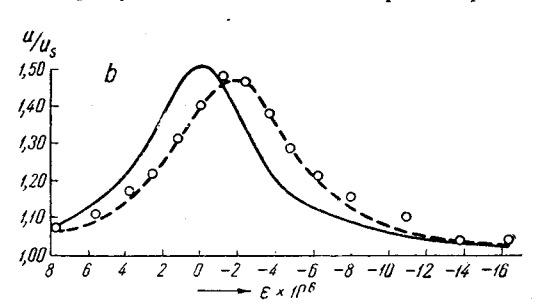


Рис. 26. Насыщен. Na<sub>2</sub> SO<sub>4</sub> в глицерине,  $\kappa = 8.1 \cdot 10^{-6}$ ,  $\mu = 7.2$ , a = 0.442 мм. Сплошная кривая —  $\alpha_{\rm выч}$  по уравнению (5а); пунктирная —  $\alpha_{\rm выч}$  по уравнению (7), принимая  $\epsilon_l - \epsilon_0 = 3.4 \cdot 10^{-6}$ ; ООО —  $\alpha_{\rm Ha6.7}$ 

водородом, изменение  $\varepsilon$  во время падения на расстоянии 5 см составит  $\sim 4\cdot 10^{-6}$ . В этих условиях отрицательный заряд, равный  $2\cdot 10^{-6}$ , существовавший к моменту начала падения, обратится в нуль в середине рассматриваемого участка, что и будет соответствовать максимуму  $\alpha_{\text{набл}}$ . Предполагая в первом грубом приближении, что величина заряда линейно изменяется с пройденным путем, нетрудно получить из уравнения (5а) следующее выражение для средней скорости падения на некотором участке u:

$$\frac{\overline{u}}{u_s} = \left[1 - \frac{1}{3\left(\frac{\varepsilon_l}{\sqrt{3}\,\mu\varkappa} - \frac{\varepsilon_n}{\sqrt{3}\,\mu\varkappa}\right)} \left(\operatorname{arctg} \frac{\varepsilon_l}{\sqrt{3}\,\mu\varkappa} - \operatorname{arctg} \frac{\varepsilon_n}{\sqrt{3}\,\mu\varkappa}\right)\right]^{-1}, \quad (7)$$

где  $\varepsilon_0$  и  $\varepsilon_l$ — значения заряда, соответственно, в начале и конце данного участка. С помощью этого уравнения, полагая, соответственно,  $\varepsilon_l$ —  $\varepsilon_0$  равным  $8\cdot 10^{-6}$  и  $3,4\cdot 10^{-6}$ , были высчитаны кривые, обозначенные пунктиром на рис. 2а и 2б. Как видно, при этом получается достаточно хорошее согласие теории с опытом.

На первый взгляд остается неясной роль радиуса капли в опытах более ранних исследователей, так как величина последнего не входит в уравнения (5) и (5а). В действительности, однако, дело обстоит несколько иначе, и можно показать, что при достаточно большом радиусе тормозящее действие даже большого заряда должно исчезнуть. В работе Фрумкина и Левича (8) было указано, что теория, которая приводит к уравнению (5), строго применима только до тех пор, пока изменение заряда, вызванное тангенциальным движением, мало по сравнению с его исходным значением. Как показано в цитированной работе, в этих условиях разность потенциалов между передним и задним концами капли  $\Delta \Phi$  равна

$$\Delta \Phi = \frac{2}{3} \frac{(\rho - \rho') g a^2 \varepsilon}{\alpha} \frac{1}{2\mu + 3\mu' + \frac{\varepsilon^2}{\alpha}} \sim \frac{2}{3} \frac{(\rho - \rho') g a^2}{\varepsilon}, \qquad (8)$$

где приближенное значение соответствует интересующему нас случаю большого заряда. При возрастании a величина  $\Delta\Phi$  растет; очевидно, однако, что этот рост не может быть беспредельным. В некотором интервале значений a уравнение (8) уже не будет давать точного значения  $\Delta\Phi$ , но все же будет правильным по порядку величины.

Величине  $\Delta \Phi$  соответствует некоторое значение  $\Delta \sigma$  разности пограничных натяжений между передним и задним концами капли, причем приближенно:

$$\Delta \sigma \sim \varepsilon \Delta \Phi \sim \frac{2}{3} (\rho - \rho') g a^2.$$
 (9)

Но величина  $\Delta \sigma$  также не может превысить некоторого предела, так как на переднем конце капли, вследствие уменьшения плотности заряда при возрастании скорости падения, пограничное натяжение достигнет своего максимального значения, а на заднем конце капли накопление зарядов в конце концов должно привести к началу некоторого процесса электролиза, например, в случае положительной капли, к переходу ионов ртути в раствор, который кладет предел росту  $\Delta \Phi$  и  $\Delta \sigma$ . При достижении такого предельного значения  $\Delta \sigma_{\rm max}$  дальнейший рост тормозящего действия поверхностных сил делается невозможным, и капля должна перейти к "жидкому" режиму падения. Критическое значение a, соответствующее этому переходу, равно, согласно уравнению (9),

$$a \sim \frac{(^{3/2} \Delta \sigma_{\text{max}})^{1/2}}{(\rho - \rho')^{1/2} g^{1/2}}.$$
 (10)

Если принять во внимание, что  $\Delta \sigma_{\rm max}$  — максимально возможное понижение пограничного натяжения ртуть/раствор положительными зарядами, составляющее около  $\frac{1}{3}-\frac{1}{5}$  от величины всего пограничного натяжения  $\sigma$ , то критерий (10) практически совпадает с критерием Бонда и Ньютон, хотя он выведен из совершенно других соображений. Более подробный разбор уравнения (8) приводит к выводу, что строгая применимость теории связана с выполнением условия

$$x > ^{\circ}/_{2} u_{s} C$$

где C — емкость двойного слоя, что ограничивает возможность проверки теории при  $u_{\rm s}\sim 1$  растворами, для которых х  $> 10^{-5}$ .

За ценные советы по настоящей работе приносим благодарность доктору химических наук В. Г. Левичу.

Поступило 25 XI 1946

## ЦИТИРОВАННАЯ ЛИТЕРАТУРА

<sup>1</sup> E. Hadamard, C. R., 152, 1735 (1911); 154, 109 (1912). <sup>2</sup> Rybczinski, Bull. Acad. Sci. Cracovie, 1, 40 (1911). <sup>3</sup> Nordlund, Ark. for Mat. Astron. och Fysik Stockholm, 9, 1 (1913); J. Roux, Ann. de Chim. et de Phys., 29, 94 (1913); O. W. Silvey, Phys. Rev., 7, 106 (1916). <sup>4</sup> A. O. Лебедев, ЖРФХО, физич. отд., 48, 725 (1916). <sup>6</sup> M. P. Wolarowitsch and A. A. Leontiewa, Acta Physicochim. URSS, 11, 251 (1939). <sup>6</sup> W. N. Bond and D. A. Newton, Phil. Mag. (7), 5, 794 (1928). <sup>7</sup> M. J. Boussinesq, C. R., 156, 983, 1035, 1124 (1923); Ann. de Chim. et de Phys., 29, 349, 357, 364 (1913). <sup>8</sup> A. Frumkin and B. Levich, Acta Physicochim. URSS, 20, 769 (1945). <sup>9</sup> W. N. Bond, Phil. Mag. (7), 4, 889 (1927). <sup>10</sup> A. H. Фрумкин, Электрокапиллярные явления и электродные потенциалы, Одесса, 1919, стр. 43.